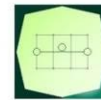


CONCEDENTE



CONCESSIONARIA



SOCIETÀ DI PROGETTO  
BREBEMI SPA

CUP E3 1 B05000390007

COLLEGAMENTO AUTOSTRADALE  
DI CONNESSIONE TRA LE CITTA' DI  
BRESCIA E MILANO

PROCEDURA AUTORIZZATIVA D. LGS 163/2006  
DELIBERA C.I.P.E. DI APPROVAZIONE DEL PROGETTO DEFINITIVO N° 19/2016

INTERCONNESSIONE A35-A4  
PROGETTO ESECUTIVO

I - INTERCONNESSIONE

II - INTERCONNESSIONE A35-A4

IDAYO - ADEGUAMENTO INTERFERENZA IDRAULICA IDA10  
RELAZIONE TECNICA E DI CALCOLO

PROGETTAZIONE:



VERIFICA:

IL PROGETTISTA RESPONSABILE INTEGRAZIONE  
PRESTAZIONI SPECIALISTICHE  
IMPRESA RIZZAROTTI E C. S.P.A.  
DOTT. ING. PIETRO MAZZOLI  
ORDINE DEGLI INGEGNERI DI PARMA N. 821

IL DIRETTORE TECNICO  
IMPRESA PIZZAROTTI E C. S.P.A.  
DOTT. ING. SABINO DEL BALZO  
ORDINE DEGLI INGEGNERI DI POTENZA N. 631

APPROVATO SDP

I.D.	IDENTIFICAZIONE ELABORATO												PROGR.		DATA:	
65628	EMITT. 04	TIPO RC	FASE E	M.A. I	LOTTO II	OPERA ID	PROC. OPERA AYO	TRATTO 00	PART. 00	PROGR. 001	PART. DOC. 00	STATO A	REV. 00	LUG 2016	SCALA:	

ELABORAZIONE PROGETTUALE				REVISIONE								
IL PROGETTISTA PIACENTINI INGEGNERI S.R.L. DOTT. ING. LUCA PIACENTINI ORDINE DEGLI INGEGNERI DI BOLOGNA N. 4152				N.	REV.	DESCRIZIONE	DATA	REDATTO	DATA	CONTROLLATO	DATA	APPROVATO
				A	00	EMISSIONE	29/07/2016	PIACENTINI	29/07/2016	MAZZOLI	29/07/2016	MAZZOLI

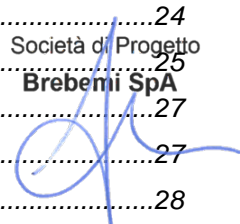
	<b>IL CONCEDENTE</b> 	<b>IL CONCESSIONARIO</b>  Società di Progetto <b>Brebemi SpA</b>
--	--------------------------	---

IL PRESENTE DOCUMENTO NON POTRA' ESSERE COPIATO, RIPRODOTTO O ALTRIMENTI PUBBLICATO, IN TUTTO O IN PARTE, SENZA IL CONSENSO SCRITTO DELLA SdP BREBEMI S.P.A. OGNI UTILIZZO NON AUTORIZZATO SARA' PERSEGUITO A NORMA DI LEGGE  
THIS DOCUMENT MAY NOT BE COPIED, REPRODUCED OR PUBLISHED, EITHER IN PART OR IN ITS ENTIRETY, WITHOUT THE WRITTEN PERMISSION OF SdP BREBEMI S.P.A. UNAUTHORIZED USE WILL BE PROSECUTED BY LAW

## INDICE

<b>1.</b>	<b>DESCRIZIONE DELL'OPERA</b> .....	<b>4</b>
<b>2.</b>	<b>NORMATIVA E RIFERIMENTI</b> .....	<b>6</b>
2.1	Opere in c.a. e strutture metalliche .....	6
2.2	Strade .....	6
2.3	Altri documenti .....	7
<b>3.</b>	<b>CARATTERISTICHE DEI MATERIALI</b> .....	<b>8</b>
3.1	Calcestruzzo per magrone di sottofondazione .....	8
3.2	Calcestruzzo per strutture.....	8
3.3	Acciaio per cemento armato .....	8
3.4	Durabilità e prescrizioni sui materiali .....	9
<b>4.</b>	<b>COMBINAZIONI DI CARICO</b> .....	<b>11</b>
4.1	Combinazioni per la verifica allo SLU .....	11
4.2	Combinazioni per la verifica allo SLE .....	12
<b>5.</b>	<b>PARAMETRI GEOTECNICI</b> .....	<b>13</b>
<b>6.</b>	<b>PROLUNGAMENTO DELLO SCATOLARE ESISTENTE</b> .....	<b>14</b>
<b>7.</b>	<b>ELEMENTO SPECIALE DI COLLEGAMENTO</b> .....	<b>15</b>
7.1	Geometria della struttura .....	15
7.2	Analisi dei carichi elementari.....	15
7.2.1	<i>Peso proprio dell'elemento strutturale</i> .....	15
7.2.2	<i>Carichi permanenti portati</i> .....	15
7.2.3	<i>Carichi da traffico stradale transitante sopra la struttura scatolare</i> .....	16
7.3	Combinazioni di riferimento.....	18
<b>8.</b>	<b>VERIFICHE DEGLI ELEMENTI STRUTTURALI</b> .....	<b>20</b>
<b>9.</b>	<b>MURO AD L IDAY0</b> .....	<b>21</b>
9.1	Geometria della struttura .....	21
9.2	Analisi della struttura .....	22
9.2.1	<i>Analisi dei carichi</i> .....	22
9.3	Metodo di Calcolo della spinta sul muro e delle verifiche di stabilità .....	24
9.3.1	<i>Valori caratteristici e valori di calcolo</i> .....	24
9.3.2	<i>Metodo di Mononobe-Okabe</i> .....	24
9.3.3	<i>Spinta in presenza di sisma</i> .....	25
9.3.4	<i>Verifica a ribaltamento</i> .....	27
9.3.5	<i>Verifica a scorrimento</i> .....	27
9.3.6	<i>Verifica al carico limite</i> .....	28

APPROVATO SDP



9.3.7	Verifica alla stabilità globale.....	31
<b>9.4</b>	<b>Geometria profilo terreno.....</b>	<b>32</b>
9.4.1	Terreno a monte del muro .....	32
9.4.2	Terreno a valle del muro.....	33
9.4.3	Stratigrafia.....	33
<b>9.5</b>	<b>Condizioni di carico .....</b>	<b>34</b>
9.5.1	Normativa.....	34
9.5.2	Descrizione combinazioni di carico.....	36
<b>9.6</b>	<b>Verifiche strutturali e geotecniche .....</b>	<b>39</b>

APPROVATO SDP

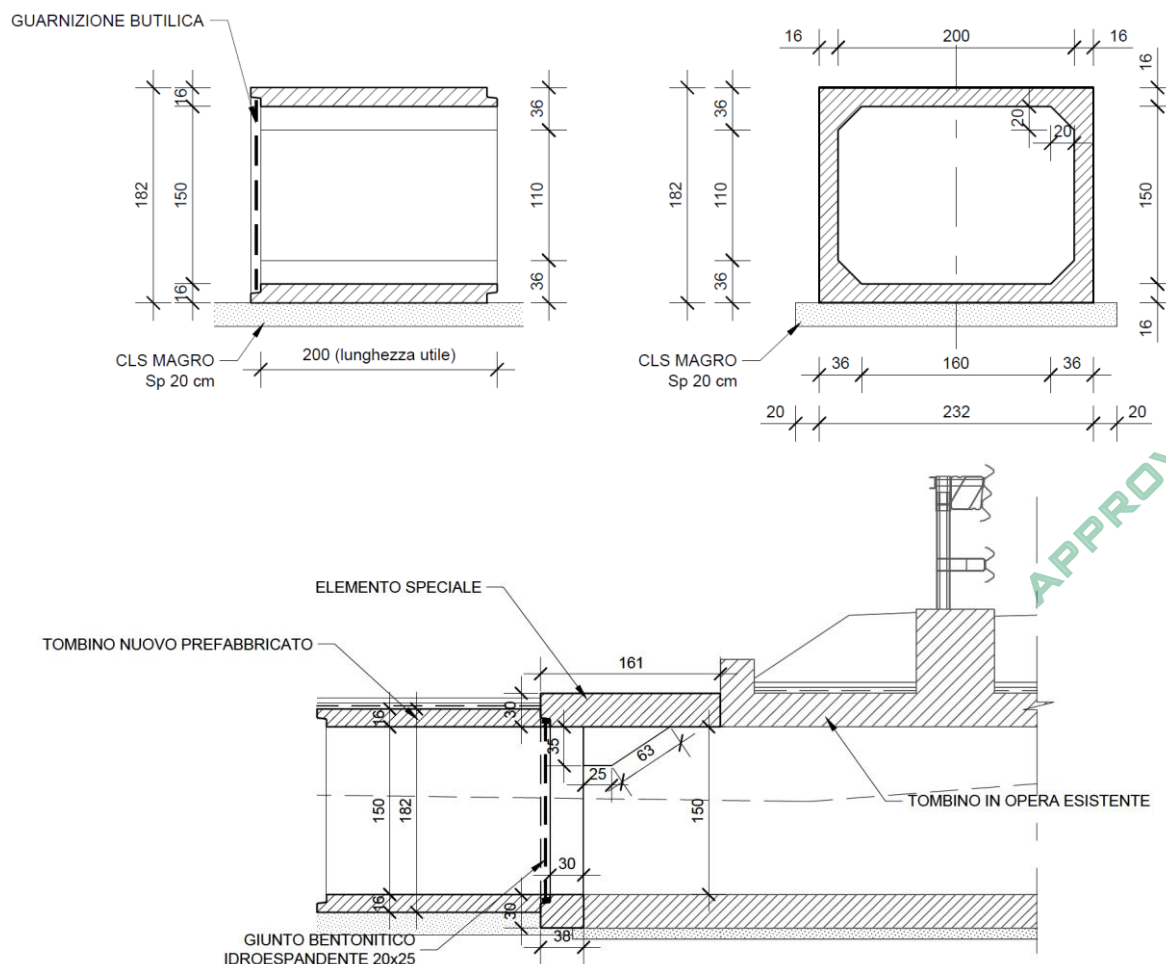
## 1. DESCRIZIONE DELL'OPERA

La presente relazione di calcolo riguarda l'adeguamento del tombino scatolare IDA10 situato nel ramo di "Collegamento Tangenziale direzione Brescia (BS)" dello svincolo di Interconnessione che collega l'Autostrada A35 BreBeMi alla Tangenziale in direzione BS, nell'ambito del piu' generale Progetto Esecutivo dell'Interconnessione tra la citata Autostrada A35 BreBeMi e l'Autostrada A4.

All'interno dell'opera di ampliamento del collegamento autostradale è previsto l'allungamento di scatolari idraulicisistenti attraverso l'utilizzo di sezioni scatolari prefabbricate. Oggetto della presente relazione di calcolo è il tombino scatolare IDAY0 di dimensioni interne massime 200X150cm.

L'intervento di allungamento prevede la connessione delle nuove sezioni con il tombino esistente in cls armato gettato in opera attraverso il getto di un elemento speciale debitamente progettato.

Si riportano di seguito alcune sezioni del tombino scatolare oggetto di analisi:



APPROVATO SDP

L'altezza di ricoprimento dello scatolare assunta ai fini del calcolo della struttura è pari a 0.90m.

Non si riscontra interferenza con la falda.

Le azioni considerate nel calcolo sono quelle tipiche di una struttura interrata con le aggiunte delle azioni di tipo stradale, con applicazione della Normativa sui ponti stradali D. M. Min. Il. TT. del 14 gennaio 2008 – Norme tecniche per le costruzioni.

Società di Progetto

BreBeMi SpA

14 gennaio 2008

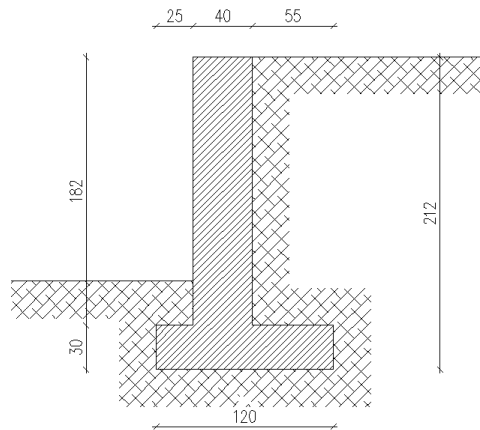
Norme tecniche per le costruzioni.

In questa relazione sono riportate anche le verifiche geotecniche e strutturali del muro ad "L" IDAY7 previsto nell'ambito dei lavori inerenti il collegamento autostradale di connessione tra la A35 e la A4.


Il muro è alto 2.12m, caratterizzato da uno spessore di 0.30 m per il paramento e di 0.40m per la fondazione.

Il dimensionamento è il risultato dello studio effettuato su una struttura piana che descrive una striscia larga 1,00m.

Di seguito si riporta la sezione trasversale tipo del muro in esame:



APPROVATO SDP

	Doc. N. 65628-IDAY0-A00.docx	CODIFICA DOCUMENTO 04RCEI11DAY0000000100	REV. A00	FOGLIO 6 di 39
--	---------------------------------	---	-------------	-------------------

## 2. NORMATIVA E RIFERIMENTI

I calcoli e le disposizioni esecutive sono conformi alle norme attualmente in vigore.

### 2.1 Opere in c.a. e strutture metalliche


- D. M. Min. Il. TT. del 14 gennaio 2008 – Norme tecniche per le costruzioni
- CIRCOLARE 2 febbraio 2009, n.617 “Istruzione per l’applicazione delle «Nuove norme tecniche per le costruzioni» di cui al decreto ministeriale 14 gennaio 2008
- UNI EN 1991-1-5:2004 Parte 1-5: Azioni sulle strutture - Azioni in generale - Azioni termiche
- UNI EN 1991-2:2005 Parte 2: Azioni sulle strutture - Carichi da traffico sui ponti
- UNI EN 1992-1-1:2005 Parte 1-1: Progettazione delle strutture in calcestruzzo - Regole generali e regole per gli edifici
- UNI EN 1992-2:2006 Parte 2: Progettazione delle strutture in calcestruzzo- Ponti di calcestruzzo, Progettazione e dettagli costruttivi
- UNI EN 1997-1:2005 Parte 1: Progettazione geotecnica - Regole generali
- UNI EN 1998-1:2005 Parte 1: Progettazione delle strutture per la resistenza sismica - Regole generali, azioni sismiche e regole per gli edifici
- UNI EN 1998-2:2009 Parte 2: Progettazione delle strutture per la resistenza sismica - Ponti
- UNI EN 1998-5:2005 Parte 5: Progettazione delle strutture per la resistenza sismica - Fondazioni, strutture di contenimento ed aspetti geotecnici
- UNI EN 197-1 giugno 2001 – “Cemento: composizione, specificazioni e criteri di conformità per cementi comuni
- UNI EN 11104 marzo 2004 – “Calcestruzzo: specificazione, prestazione, produzione e conformità”, Istruzioni complementari per l’applicazione delle EN 206-1
- UNI EN 206-1 ottobre 2006 – “Calcestruzzo: specificazione, prestazione, produzione e conformità”
- Linee guida sul calcestruzzo strutturale - Presidenza del Consiglio Superiore dei Lavori Pubblici - Servizio Tecnico Centrale

### 2.2 Strade

- D.M. 5 novembre 2001 – Norme funzionali e geometriche per la costruzione delle strade
- D.M. 22 aprile 2004 – Modifica del decreto 5 novembre 2001, n. 6792, recante “Norme funzionali e geometriche per la costruzione delle strade”
- Decreto Legislativo 30 aprile 1992 n. 285– Nuovo codice della strada;
- D.P.R. 16 dicembre 1992 n. 495 – Regolamento di esecuzione e di attuazione del nuovo codice della strada;
- D.Lgs. 15 gennaio 2002 n. 9 – disposizioni integrative e correttive del nuovo codice della strada, a norma dell’articolo 1, comma 1, della L. 22 marzo 2001, n. 85.
- D.L. 20 giugno 2002 n. 121 – disposizioni urgenti per garantire la sicurezza nella circolazione stradale

Società di Progetto  
della strada, a  
Brebem SpA



	Doc. N. 65628-IDAY0-A00.docx	CODIFICA DOCUMENTO 04RCEI11DAY0000000100	REV. A00	FOGLIO 7 di 39
--	---------------------------------	---	-------------	-------------------

- L. 1 agosto 2002 n. 168 – conversione in legge, con modificazioni, del D.L. 20 giugno 2002, n. 121, recante disposizioni urgenti per garantire la sicurezza nella circolazione stradale
- D.L. 27 giugno 2003 n. 151 – modifiche ed integrazioni al codice della strada
- L. 1 agosto 2003 n. 214 – conversione in legge, con modificazioni, del D.L. 27 giugno 2003, n. 151, recante modifiche ed integrazioni al codice della strada
- D.M. 30 novembre 1999 n. 557 – Regolamento recante norme per la definizione delle caratteristiche tecniche delle piste ciclabili
- Bollettino CNR n. 150 – Norme sull’arredo funzionale delle strade urbane

### 2.3 Altri documenti

- CNR 10024/86 – Analisi mediante elaboratore: impostazione e redazione delle relazioni di calcolo

APPROVATO SDP

Società di Progetto  
**Brebemi SpA**



### 3. CARATTERISTICHE DEI MATERIALI

Per la realizzazione dell'opera è previsto l'impiego dei materiali elencati nel seguito.

#### 3.1 Calcestruzzo per magrone di sottofondazione

Per il magrone di sottofondazione si prevede l'utilizzo di calcestruzzo di classe C16/20.

#### 3.2 Calcestruzzo per strutture

Per la realizzazione della soletta superiore dell'elemento speciale di collegamento si prevede l'utilizzo di calcestruzzo avente classe di C32/40 che presenta le seguenti caratteristiche:

Classe di resistenza	=	C32/40	
Rck	=	40 MPa	Valore caratteristico resistenza cubica
fck	=	33.2 MPa	Valore caratteristico resistenza cilindrica
fcm	=	41.2 MPa	Valore medio resistenza cilindrica
fctm	=	3.10 MPa	Valore medio resistenza a trazione semplice
fctm	=	3.72 MPa	Valore medio resistenza a trazione per flessione
$\nu$	=	0.2	Coefficiente di Poisson
Ecm	=	33643 MPa	Modulo elastico
$\gamma_c$	=	1.5	Coefficiente parziale di sicurezza
$\alpha_{cc}$	=	0.85	Coefficiente riduttivo per resistenze di lunga durata
fcd	=	18.81 MPa	Resistenza di calcolo a compressione
fctd	=	1.45 MPa	Resistenza di calcolo a trazione
$\epsilon_{cu}$	=	0.0035	Deformazione a rottura per il calcestruzzo
$\epsilon_{c0}$	=	0.002	Deformazione limite del tratto a parabola del legame costitutivo del calcestruzzo

#### 3.3 Acciaio per cemento armato

Per le armature metalliche si adottano barre in acciaio del tipo B450C saldabile, controllato in stabilimento e che presentano le seguenti caratteristiche:

Tensione caratteristica di snervamento	$f_{yk} \geq 450 \text{ N/mm}^2$
Tensione caratteristica a rottura	$f_{tk} \geq 540 \text{ N/mm}^2$
Fattore di sicurezza acciaio	$\gamma_s = 1.15$
Resistenza a trazione di calcolo	$f_{yd} = f_{yk} / \gamma_{m,s} = 391.30 \text{ N/mm}^2$
Tensione massima di trazione (comb. Rara)	$\sigma_s = 0.80 f_{yk} = 360.00 \text{ N/mm}^2$

Società di Progetto  
**Brebemi SpA**





### 3.4 Durabilità e prescrizioni sui materiali

Per garantire la durabilità delle strutture in calcestruzzo armato ordinario, esposte all'azione dell'ambiente, si devono adottare i provvedimenti atti a limitare gli effetti di degrado indotti dall'attacco chimico, fisico e derivante dalla corrosione delle armature e dai cicli di gelo e disgelo.

Al fine di ottenere la prestazione richiesta in funzione delle condizioni ambientali, nonché per la definizione della relativa classe, si fa riferimento alle indicazioni contenute nelle Linee Guida sul calcestruzzo strutturale edite dal Servizio Tecnico Centrale del Consiglio Superiore dei Lavori Pubblici ovvero alle norme UNI EN 206-1:2006 ed UNI 11104:2004.

Ai fini di preservare le armature dai fenomeni di aggressione ambientale, dovrà essere previsto un idoneo copriferro; il suo valore, misurato tra la parete interna del cassero e la generatrice dell'armatura metallica più vicina, individua il cosiddetto "copriferro nominale".

Il copriferro nominale  $c_{nom}$  è somma di due contributi, il copriferro minimo  $c_{min}$  e la tolleranza di posizionamento  $h$ . Vale pertanto:  $c_{nom} = c_{min} + h$ .

La tolleranza di posizionamento delle armature "h", per le strutture gettate in opera, può essere assunta pari a 5 mm, nell'ipotesi in cui sia previsto controllo di qualità con misura dei copriferri.

In accordo con le specifiche dei materiali da utilizzarsi per l'opera in oggetto, si utilizzano i seguenti tipi di calcestruzzo e copri ferri minimi. Il copriferro è valutato in accordo a quanto prescritto nella Norma UNI EN 1992-1-1, mentre la classe di resistenza minima è definita in accordo al Prospetto 4 della Norma UNI 11104:2004.

Campi di impiego	Classe di esposizione ambientale	Classe di resistenza minima [C(fck/Rck)min]	Classe strutturale	Copriferro minimo $c_{min,dur}$	Copriferro nominale $c_{nom} = c_{min} + h$ (mm)
			VN=50	VN=50	VN=50
Elemento speciale di collegamento (soletta superiore)	XC4 XD1 XF1	C32/40	S4	35	40


Tabella 3.1 Classe di resistenza minima e copriferro nominale

In base a quanto definito nella tabella precedente e in accordo con quanto previsto nelle tabelle 4.2.III e 4.1.IV del D.M. 14 Gennaio 2008 si definiscono le condizioni ambientali ed i relativi limiti di apertura delle fessure accettabili per ciascun elemento strutturale.

Condizioni ambientali	Classe di esposizione
Ordinarie	X0, XC1, XC2, XC3, XF1
Aggressive	XC4, XD1, XS1, XA1, XA2, XF2, XF3
Molto aggressive	XD2, XD3, XS2, XS3, XA3, XF4

Tabella 3.2 – Descrizione delle condizioni ambientali (tabella 4.2.III NTC 2008) **Brebemi SpA**

Nella tabella 4.1.IV del D.M. 14 Gennaio 2008, riportata di seguito per comodità, sono indicati i criteri di scelta dello stato limite di fessurazione con riferimento alle condizioni ambientale e al tipo di armatura. Nel

	Doc. N.	CODIFICA DOCUMENTO	REV.	FOGLIO
	65628-IDAY0-A00.docx	04RCEI11DAY0000000100	A00	10 di 39

caso specifico si evidenziano i limiti di apertura delle fessure da utilizzare per le verifiche agli stati limite di esercizio.

Gruppi di esigenze	Condizioni ambientali	Combinazione di azioni	Armatura			
			Sensibile		Poco sensibile	
			Stato limite	wd	Stato limite	wd
a	Ordinarie	frequente	ap. fessure	$\leq w2$	ap. fessure	$\leq w3$
		quasi permanente	ap. fessure	$\leq w1$	ap. fessure	$\leq w2$
b	Aggressive	frequente	ap. fessure	$\leq w1$	ap. fessure	$\leq w2$
		quasi permanente	decompressione	-	ap. fessure	$\leq w1$
c	Molto aggressive	frequente	formazione fessure	-	ap. fessure	$\leq w1$
		quasi permanente	decompressione	-	ap. fessure	$\leq w1$

Tabella 3.3 - Criteri di scelta dello stato limite di fessurazione (tabella 4.1.IV NTC 2008)

APPROVATO SDP

## 4. COMBINAZIONI DI CARICO

Le combinazioni di carico, considerate ai fini delle verifiche, sono stabilite in modo da garantire la sicurezza in conformità a quanto prescritto al cap. 2 delle NT.

### 4.1 Combinazioni per la verifica allo SLU

Lo stato limite ultimo per la presente opera si riferisce allo sviluppo di meccanismi di collasso determinati dal raggiungimento della resistenza degli elementi strutturali che compongono l'opera.

Le verifiche agli stati limite ultimi sono eseguite in riferimento al seguente stato limite:

SLU di tipo strutturale: raggiungimento della resistenza negli elementi strutturali.

Ai fini delle verifiche degli stati limite ultimi si definisce la seguente combinazione:

Fondamentale:  $\gamma_{G1} \cdot G_1 + \gamma_{G2} \cdot G_2 + \gamma_{Q1} \cdot Q_{k1} + \sum_i \psi_{0i} \cdot Q_{ki}$

**Tabella 5.1.VI - Coefficienti  $\psi$  per le azioni variabili per ponti stradali e pedonali**

Azioni	Gruppo di azioni (Tabella 5.1.IV)	Coefficiente $\psi_0$ di combinazione	Coefficiente $\psi_1$ (valori frequenti)	Coefficiente $\psi_2$ (valori quasi permanenti)
Azioni da traffico (Tabella 5.1.IV)	Schema 1 (Carichi tandem)	0,75	0,75	0,0
	Schemi 1, 5 e 6 (Carichi distribuiti)	0,40	0,40	0,0
	Schemi 3 e 4 (carichi concentrati)	0,40	0,40	0,0
	Schema 2	0,0	0,75	0,0
	2	0,0	0,0	0,0
	3	0,0	0,0	0,0
Vento $q_5$	4 (folla)	----	0,75	0,0
	5	0,0	0,0	0,0
	Vento a ponte scarico SLU e SLE	0,6	0,2	0,0
Esecuzione	Vento a ponte carico	0,6	----	0,0
	SLU e SLE	0,0	0,0	0,0
Neve $q_5$	esecuzione	0,8	0,6	0,5
	Temperatura	$T_k$	0,6	0,6
			0,6	0,5

## 4.2 Combinazioni per la verifica allo SLE

Ai fini delle verifiche degli stati limite di esercizio (fessurazione/ stato tensionale) si definiscono le seguenti combinazioni:

Frequente)	⇒	$G_1 + G_2 + \psi_{11} \cdot Q_{k1} + \sum_i \psi_{2i} \cdot Q_{ki}$	⇒	$(\Phi_d' = \Phi_k')$
Quasi permanente)	⇒	$G_1 + G_2 + \psi_{21} \cdot Q_{k1} + \sum_i \psi_{2i} \cdot Q_{ki}$	⇒	$(\Phi_d' = \Phi_k')$
Rara)	⇒	$G_1 + G_2 + Q_{k1} + \sum_i \psi_{0i} \cdot Q_{ki}$	⇒	$(\Phi_d' = \Phi_k')$

APPROVATO SDP

## 5. PARAMETRI GEOTECNICI

I parametri geotecnici che caratterizzano i materiali da rilevati e reinterri sono:


$$\Phi'_k = 38^\circ$$

$$\gamma_m = 20 \text{ kN/m}^3$$

$$\gamma'_m = 10 \text{ kN/m}^3$$

$$\gamma_{\text{water}} = 10 \text{ kN/m}^3.$$

APPROVATO SDP

	Doc. N. 65628-IDAY0-A00.docx	CODIFICA DOCUMENTO 04RCEI11DAY0000000100	REV. A00	FOGLIO 14 di 39
--	---------------------------------	---	-------------	--------------------

## 6. PROLUNGAMENTO DELLO SCATOLARE ESISTENTE

L'opera di prolungamento del manufatto esistente viene realizzata con uno scatolare chiuso in elementi prefabbricati, tali elementi dovranno presentare caratteristiche meccaniche in grado di resistere alle sollecitazioni dovute ai pesi propri, alle azioni permanenti ed ai sovraccarichi variabili da traffico propri dei ponti di 1a categoria, ai sensi di quanto previsto al punto 5.1.3.3 del D.M. 14 gennaio 2008.

L'elemento d'imbocco del nuovo tombino è costituito da un prefabbricato a sezione aperta, tipo muro ad "U", dimensionato in modo tale da resistere alle sollecitazioni dovute ai pesi propri, alle azioni permanenti, nonché ad un sovraccarico variabile sul piano campagna pari a 10.00 kN/mq.

APPROVATO SDP

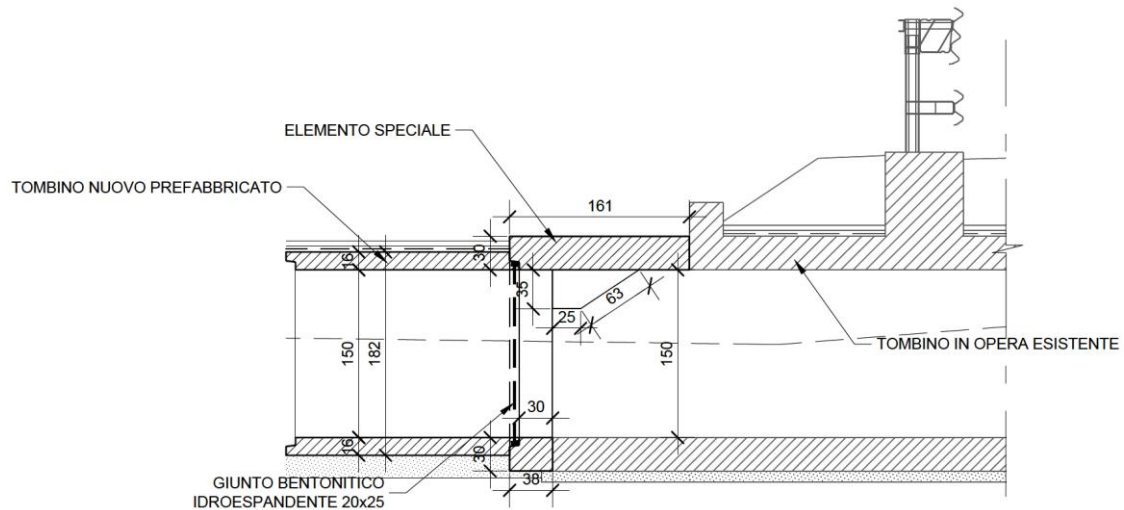
Società di Progetto  
**Brebemi SpA**



## 7. ELEMENTO SPECIALE DI COLLEGAMENTO

### 7.1 Geometria della struttura

Come già mostrato in precedenza si riporta una sezione dello scatolare in oggetto in corrispondenza dell'elemento di collegamento tra sezione esistente e nuova sezione:



Il dimensionamento dell'elemento speciale di collegamento viene effettuato sulla base delle misure dedotte dall'elaborato grafico riportate nel seguito:

- Lunghezza elemento  $L=2.00\text{m}$
- Larghezza elemento  $B=1.61\text{m}$
- Spessore elemento  $s=0.30\text{m}$
- Altezza terreno di ricoprimento  $H=0.90\text{m}$

APPROVATO SDP

### 7.2 Analisi dei carichi elementari

#### 7.2.1 Peso proprio dell'elemento strutturale

Il peso proprio dell'elemento di collegamento risulta:

#### 7.2.2 Carichi permanenti portati

I carichi permanenti portati sono rappresentati dal peso del terreno di ricoprimento e dalla sovrastuttura stradale.

- Terreno di ricoprimento

Sovrastuttura  
Brebemi SpA



- Sovrastruttura stradale

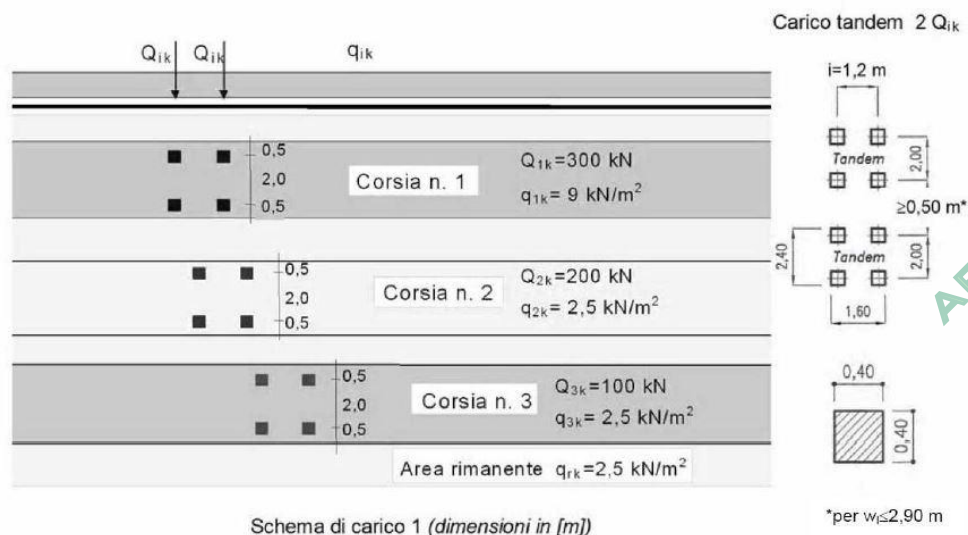
## 7.2.3 Carichi da traffico stradale transitante sopra la struttura scatolare

### Carichi gravanti sull'elemento speciale di collegamento

Come azioni variabili da traffico si assume lo schema di carico 1 secondo il paragrafo 5.1.3.3.3 delle NT. Si considera la categoria stradale 1.

Lo schema 1 prevede la presenza di diverse corsie di carico, delle quali si riporta di seguito solo la prima, caratterizzata da:

- ✓ il carico  $Q_{1,k}$  costituito da un mezzo convenzionale da  $[4*150]$  kN a due assi da  $[2*150]$  kN ognuno (carico tandem).  
I quattro carichi concentrati sono disposti su impronte di dimensione  $0.4 \times 0.4$ , poste ad un interasse ortogonale al senso di marcia di  $2 \text{ m}$  e  $1.2 \text{ m}$  in asse al senso di marcia;
- ✓ il carico ripartito  $q_{1,k}$  da  $9 \text{ kN/m}^2$  che interessa la lunghezza della corsia e la larghezza pari a  $3 \text{ m}$ .



Schema di carico 1 (dimensioni in [m])

\*per  $w \leq 2,90 \text{ m}$

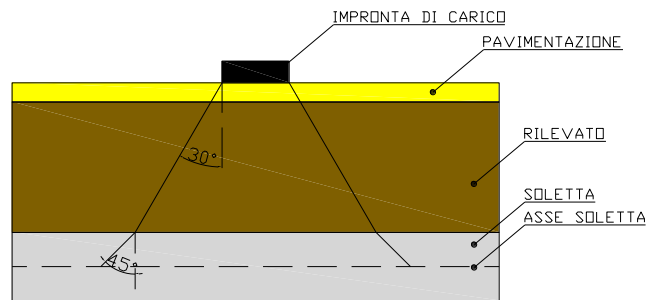
Le corsie appena descritte sono posizionate ortogonalmente all'asse del sottopasso e si considera la ripartizione sia in direzione longitudinale che trasversale.

Per quanto concerne il carico uniforme non si considera distribuzione longitudinale.

Per quanto concerne il carico tandem la superficie di diffusione del carico è determinata supponendo che la diffusione avvenga con un angolo di diffusione pari a  $45^\circ$  attraverso il pacchetto stradale,  $\phi$  attraverso il rilevato stradale,  $45^\circ$  sino al piano medio della soletta superiore (qualora la diffusione sugli strati superiori non abbia già ecceduto le dimensioni dell'elemento speciale):

Scritto e firmato  
Brahmi SpA





In direzione trasversale alla strada (ovvero longitudinale allo scatolare), la larghezza di diffusione viene considerata limitata dalla larghezza della corsia convenzionale.

Risulta pertanto:

- in direzione longitudinale alla strada:

$$L_{dl} = 1.2 + 0.4 + 2x (0.1 + 0.95 \cdot \text{tg}(38)) = 3.28\text{m.}$$

- in direzione trasversale alla strada:

$$L_{dl} = 2.0 + 0.4 + 2x (0.1 + 0.95 \cdot \text{tg}(38)) = 4.08\text{m} > 3.00\text{ m}$$

In direzione trasversale alla strada si assume pertanto una larghezza di diffusione pari alla larghezza della corsia convenzionale.

Il carico distribuito di riferimento per effetto del carico tandem è pertanto pari a:

$$Q_{1k,distribuito} = 600 / (3.28 \cdot 3.00) = 60.89\text{kN/m}^2.$$

Si considera inoltre contributo del carico distribuito di normativa:

$$q_{1k,distribuito} = 9.00\text{ kN/m}^2.$$

APPROVATO SDP

### 7.3 Combinazioni di riferimento

Si procede alla combinazione dei carichi mostrati in precedenza ai fini di massimizzare le sollecitazioni della struttura scatolare.

Per i coefficienti impiegati nelle combinazioni si fa di seguito riferimento a quanto riportato nelle NT:

**Tabella 5.1.V – Coefficienti parziali di sicurezza per le combinazioni di carico agli SLU**

		Coefficiente	EQU <sup>(1)</sup>	A1 STR	A2 GEO
Carichi permanenti	favorevoli	$\gamma_{G1}$	0,90	1,00	1,00
	sfavorevoli		1,10	1,35	1,00
Carichi permanenti non strutturali <sup>(2)</sup>	favorevoli	$\gamma_{G2}$	0,00	0,00	0,00
	sfavorevoli		1,50	1,50	1,30
Carichi variabili da traffico	favorevoli	$\gamma_Q$	0,00	0,00	0,00
	sfavorevoli		1,35	1,35	1,15
Carichi variabili	favorevoli	$\gamma_{Qi}$	0,00	0,00	0,00
	sfavorevoli		1,50	1,50	1,30
Distorsioni e presollecitazioni di progetto	favorevoli	$\gamma_{\epsilon 1}$	0,90	1,00	1,00
	sfavorevoli		1,00 <sup>(3)</sup>	1,00 <sup>(4)</sup>	1,00
Ritiro e viscosità, Variazioni termiche, Cedimenti vincolari	favorevoli	$\gamma_{\epsilon 2}, \gamma_{\epsilon 3}, \gamma_{\epsilon 4}$	0,00	0,00	0,00
	sfavorevoli		1,20	1,20	1,00

<sup>(1)</sup> Equilibrio che non coinvolga i parametri di deformabilità e resistenza del terreno; altrimenti si applicano i valori di GEO.  
<sup>(2)</sup> Nel caso in cui i carichi permanenti non strutturali (ad es. carichi permanenti portati) siano compiutamente definiti si potranno adottare gli stessi coefficienti validi per le azioni permanenti.  
<sup>(3)</sup> 1,30 per instabilità in strutture con precompressione esterna  
<sup>(4)</sup> 1,20 per effetti locali

**Tabella 5.1.VI - Coefficienti  $\psi$  per le azioni variabili per ponti stradali e pedonali**

Azioni	Gruppo di azioni (Tabella 5.1.IV)	Coefficiente $\psi_0$ di combinazione	Coefficiente $\psi_1$ (valori frequenti)	Coefficiente $\psi_2$ (valori quasi permanenti)
Azioni da traffico (Tabella 5.1.IV)	Schema 1 (Carichi tandem)	0,75	0,75	0,0
	Schemi 1, 5 e 6 (Carichi distribuiti)	0,40	0,40	0,0
	Schemi 3 e 4 (carichi concentrati)	0,40	0,40	0,0
	Schema 2	0,0	0,75	0,0
	2	0,0	0,0	0,0
	3	0,0	0,0	0,0
	4 (folla)	---	0,75	0,0
Vento $q_5$	Vento a ponte scarico			
	SLU e SLE	0,6	0,2	0,0
	Esecuzione	0,8	---	0,0
	Vento a ponte carico	0,6		
Neve $q_5$	SLU e SLE	0,0	0,0	0,0
	esecuzione	0,8	0,6	0,5
Temperatura	$T_k$	0,6	0,6	0,5


APPROVATO SDR

Società di Progetto  
**Brebemi SpA**

Per le combinazioni necessarie alla determinazione delle sollecitazioni di seguito utilizzate si utilizzano pertanto i coefficienti riportanti in tabella:

Combinazione	Pesi propri	Carichi	Carichi	Carichi
		permanenti portati	variabili tandem	variabili distribuiti
SLU	1.35	1.50	1.35	1.35
SLE Rara	1.00	1.00	1.00	1.00
SLE Frequente	1.00	1.00	0.75	0.40
SLE Quasi Permanente	1.00	1.00	0.00	0.00

APPROVATO SDP

	Doc. N. 65628-IDAY0-A00.docx	CODIFICA DOCUMENTO 04RCEI11DAY0000000100	REV. A00	FOGLIO 20 di 39
--	---------------------------------	---	-------------	--------------------

## 8. VERIFICHE DEGLI ELEMENTI STRUTTURALI

Poiché il manufatto in oggetto presenta le stesse caratteristiche geometriche e meccaniche, utili ai fini del calcolo, del tombino IDAX9, e rispetto a quest'ultimo risulta soggetto a sovraccarichi minori, si fa riferimento a quest'ultimo per la verifica degli elementi strutturali.

APPROVATO SDP

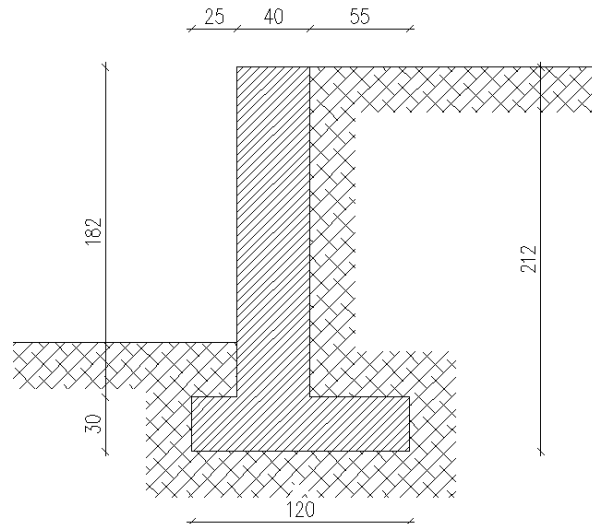
Società di Progetto  
**Brebemi SpA**



## 9. MURO AD L IDAYO

### 9.1 Geometria della struttura

La geometria del muro è quella riportata nella figura seguente:



L'opera è costituita da un muro a L di altezza complessiva pari a 2.120 m.  
Di seguito si riepilogano le caratteristiche geometriche dell'opera:


Altezza del paramento	1.82 [m]
Spessore in sommità	0.40 [m]
Spessore all'attacco con la fondazione	0.40 [m]
Inclinazione paramento esterno	0.00 [°]
Inclinazione paramento interno	0.00 [°]

Fondazione	
Lunghezza mensola fondazione di valle	0.25 [m]
Lunghezza mensola fondazione di monte	0.55 [m]
Lunghezza totale fondazione	1.20 [m]
Inclinazione piano di posa della fondazione	0.00 [°]
Spessore estremità fondazione di valle	0.30 [m]
Spessore all'incastro fondazione di valle	0.30 [m]
Spessore all'incastro fondazione di monte	0.30 [m]
Spessore estremità fondazione di monte	0.30 [m]
Spessore magrone	0.20 [m]

APPROVATO SDP

Società di Progetto  
**Brebemi SpA**



	Doc. N. 65628-IDAY0-A00.docx	CODIFICA DOCUMENTO 04RCEI11DAY0000000100	REV. A00	FOGLIO 22 di 39
--	---------------------------------	---	-------------	--------------------

## 9.2 Analisi della struttura

L'analisi della struttura è stata condotta con l'ausilio di una modellazione numerica agli elementi finiti condotta con il codice di calcolo MAX10.10 di Aztec Informatica.

### 9.2.1 Analisi dei carichi

Nel seguente paragrafo si descrivono i carichi elementari da assumere per le verifiche di resistenza, in esercizio ed in presenza dell'evento sismico.

Vengono prese in considerazione n°4 Condizioni Elementari di carico, di seguito determinate.

Tali Combinazioni Elementari saranno opportunamente combinate secondo quanto previsto dalla normativa vigente.

Per i materiali si assumono i seguenti pesi specifici:

calcestruzzo armato:	25 kN/m <sup>3</sup>
rilevato	20kN/m <sup>3</sup>

#### **CdC 1: Peso proprio**

Il peso proprio è calcolato automaticamente dal programma di calcolo.

#### **CdC 2: Spinta del terreno**

Secondo quanto riportato in precedenza, si assumono i seguenti parametri:

$$\gamma_t = 20\text{kN/m}^3$$

$$k_0 = 0.4264$$

$$k_a = 0.2461$$


#### **CdC 3: Sovraccarico sul terreno**

Si considera un sovraccarico  $p = 20 \text{ kN/m}^3$  agente sul terreno a monte del muro.

APPROVATO SDP

Società di Progetto  
**Brebemi SpA**



	Doc. N.	CODIFICA DOCUMENTO	REV.	FOGLIO
	65628-IDAY0-A00.docx	04RCEI11DAY0000000100	A00	23 di 39

#### **CdC 4: Azione sismica**

La vita nominale  $V_N$  dell'opera è stata assunta pari a 100 anni.

La classe d'uso assunta è la IV da cui si ricava  $C_u = 2$ .

Il periodo di riferimento per l'azione sismica, data la vita nominale e la classe d'uso vale:  
 $V_R=200$  anni.

I parametri sismici di progetto assunti sono riportati in tabella:

STATO LIMITE	$a_g$ (g)	$F_0$ (-)	$T_c^*$
SALVAGUARDIA VITA	0.183	2.452	0.287

Con riferimento allo SLV la componente orizzontale dell'accelerazione sismica equivalente da applicare per metodi di calcolo pseudo-statici risulta pari a:

$$S_S = 1.43(\text{terreno categoria tipo C})$$

$$a_{\max} = S_S * S_T * a_g = 1.43 * 1.00 * 0.183 \text{ g} = 0.262 \text{ g}$$

Dove:

$S_S$ : coefficiente che comprende l'effetto dell'amplificazione stratigrafica (par.3.2.3.2.1 Norme Tecniche per le Costruzioni);

$S_T$ : coefficiente che comprende l'effetto dell'amplificazione topografica (par.3.2.3.2.1 Norme Tecniche per le Costruzioni).

In virtù di quanto sopra esposto si ricava il coefficiente sismico orizzontale, considerando un  $\beta_m$  pari a 0.24 come indicato nelle NTC:

$$k_h = \beta_m * a_{\max} / g = 0.0628$$

Il coefficiente sismico verticale risulta invece:

$$k_v = 0.5k_h = 0.0314$$

Nel caso di sisma orizzontale si considera, oltre alle componenti inerziali, l'incremento di spinta del terreno  $\Delta P_d$  dovuta al sisma utilizzando la teoria di Mononobe-Okabe.

## 9.3 Metodo di Calcolo della spinta sul muro e delle verifiche di stabilità

### 9.3.1 Valori caratteristici e valori di calcolo

Effettuando il calcolo tramite gli Eurocodici è necessario fare la distinzione fra i parametri caratteristici ed i valori di calcolo (o di progetto) sia delle azioni che delle resistenze.

I valori di calcolo si ottengono dai valori caratteristici mediante l'applicazione di opportuni coefficienti di sicurezza parziali  $\gamma$ . In particolare si distinguono combinazioni di carico di tipo A1-M1 nelle quali vengono incrementati i carichi e lasciati inalterati i parametri di resistenza del terreno e combinazioni di carico di tipo A2-M2 nelle quali vengono ridotti i parametri di resistenza del terreno e incrementati i soli carichi variabili.

### 9.3.2 Metodo di Mononobe-Okabe

Il metodo di Mononobe-Okabe adotta le stesse ipotesi della teoria di Coulomb : un cuneo di spinta a monte del muro che si muove rigidamente lungo una superficie di rottura rettilinea. Mette in conto inoltre l'inerzia sismica del cuneo in direzione orizzontale e verticale . Dall'equilibrio del cuneo si ricava la spinta che il terreno esercita sull'opera di sostegno in condizioni sismiche. Viene messo in conto, come nella teoria di Coulomb, l'esistenza dell' attrito fra il terreno e il paramento del muro, e quindi la retta di spinta risulta inclinata rispetto alla normale al paramento stesso di un angolo di attrito terra-muro.

L'espressione della spinta totale (statica più sismica) esercitata da un terrapieno, di peso di volume  $\gamma$ , su una parete di altezza  $H$ , risulta espressa secondo la teoria di Mononobe-Okabe dalla seguente relazione

$$S = 1/2(1 \pm k_v)\gamma H^2 K_a$$

$K_a$  rappresenta il coefficiente di spinta attiva espresso da

$$K_a = \frac{\sin(\alpha + \phi - \theta)}{\sin^2 \alpha \sin(\alpha - \delta - \theta) \left[ 1 + \frac{\sqrt{[\sin(\phi + \delta)\sin(\phi - \beta - \theta)]}}{\sqrt{[\sin(\alpha - \delta - \theta)\sin(\alpha + \beta)]}} \right]^2}$$

L'angolo  $\theta$  è legato al coefficiente sismico dalla seguente espressione

$$\tan(\theta) = k_h / (1 \pm k_v)$$


dove  $k_h$  e  $k_v$  rappresentano in coefficiente di intensità sismica orizzontale e verticale.

APPROVATO SDP

Società di Progetto  
**Brebemi SpA**





	Doc. N. 65628-IDAY0-A00.docx	CODIFICA DOCUMENTO 04RCEI11DAY0000000100	REV. A00	FOGLIO 25 di 39
--	---------------------------------	---	-------------	--------------------

Nel caso in cui il terrapieno sia gravato di un sovraccarico uniforme  $Q$  l'espressione della pressione e della spinta diventano

$$\sigma_a = (\gamma z + Q)K_a$$

$$S = (1/2\gamma H^2 + QH)K_a$$

Al carico  $Q$  corrisponde un diagramma delle pressioni rettangolare con risultante applicata a  $1/2H$ .

Nel caso di terreno dotato di coesione  $c$  l'espressione della pressione esercitata sulla parete, alla generica profondità  $z$ , diventa

$$\sigma_a = \gamma z K_a - 2c(K_a)^{1/2}$$

Al diagramma triangolare, espresso dal termine  $\gamma z K_a$ , si sottrae il diagramma rettangolare legato al termine con la coesione. La pressione  $\sigma_a$  risulta negativa per valori di  $z$  minori di

$$h_c = \frac{2c}{\gamma(K_a)^{1/2}}$$

La grandezza  $h_c$  è detta altezza critica e rappresenta la profondità di potenziale frattura del terreno. E' chiaro che se l'altezza della parete è inferiore ad  $h_c$  non abbiamo nessuna spinta sulla parete.

### 9.3.3 Spinta in presenza di sisma

Per tener conto dell'incremento di spinta dovuta al sisma si fa riferimento al metodo di Mononobe-Okabe (cui fa riferimento la Normativa Italiana).

La Normativa Italiana suggerisce di tener conto di un incremento di spinta dovuto al sisma nel modo seguente.

Detta  $\varepsilon$  l'inclinazione del terrapieno rispetto all'orizzontale e  $\beta$  l'inclinazione della parete rispetto alla verticale, si calcola la spinta  $S'$  considerando un'inclinazione del terrapieno e della parete pari a

$$\varepsilon' = \varepsilon + \theta$$


$$\beta' = \beta + \theta$$

dove  $\theta = \arctg(k_h/(1 \pm k_v))$  essendo  $k_h$  il coefficiente sismico orizzontale e  $k_v$  il coefficiente sismico verticale, definito in funzione di  $k_h$ .

APPROVATO SDR

Società di Progetto  
**Brebemi SpA**



	Doc. N. 65628-IDAY0-A00.docx	CODIFICA DOCUMENTO 04RCEI11DAY0000000100	REV. A00	FOGLIO 26 di 39
--	---------------------------------	---	-------------	--------------------

In presenza di falda a monte,  $\theta$  assume le seguenti espressioni:

Terreno a bassa permeabilità

$$\theta = \arctg[(\gamma_{sat}/(\gamma_{sat}-\gamma_w))^*(k_h/(1\pm k_v))]$$

Terreno a permeabilità elevata

$$\theta = \arctg[(\gamma/(\gamma_{sat}-\gamma_w))^*(k_h/(1\pm k_v))]$$

Detta  $S$  la spinta calcolata in condizioni statiche l'incremento di spinta da applicare è espresso da

$$\Delta S = AS' - S$$

dove il coefficiente  $A$  vale

$$A = \frac{\cos^2(\beta + \theta)}{\cos^2\beta \cos\theta}$$

In presenza di falda a monte, nel coefficiente  $A$  si tiene conto dell'influenza dei pesi di volume nel calcolo di  $\theta$ .

Adottando il metodo di Mononobe-Okabe per il calcolo della spinta, il coefficiente  $A$  viene posto pari a 1.

Tale incremento di spinta è applicato a metà altezza della parete di spinta nel caso di forma rettangolare del diagramma di incremento sismico, allo stesso punto di applicazione della spinta statica nel caso in cui la forma del diagramma di incremento sismico è uguale a quella del diagramma statico.

Oltre a questo incremento bisogna tener conto delle forze d'inerzia orizzontali e verticali che si destano per effetto del sisma. Tali forze vengono valutate come

$$F_{iH} = k_h W F_{iV} = \pm k_v W$$

dove  $W$  è il peso del muro, del terreno soprastante la mensola di monte ed i relativi sovraccarichi e va applicata nel baricentro dei pesi.

### 9.3.4 Verifica a ribaltamento

La verifica a ribaltamento consiste nel determinare il momento risultante di tutte le forze che tendono a fare ribaltare il muro (momento ribaltante  $M_r$ ) ed il momento risultante di tutte le forze che tendono a stabilizzare il muro (momento stabilizzante  $M_s$ ) rispetto allo spigolo a valle della fondazione e verificare che il rapporto  $M_s/M_r$  sia maggiore di un determinato coefficiente di sicurezza  $\eta_r$ .

Eseguendo il calcolo mediante gli eurocodici si può impostare  $\eta_r \geq 1.0$ .

Deve quindi essere verificata la seguente disequaglianza

$$\frac{M_s}{M_r} \geq \eta_r$$

Il momento ribaltante  $M_r$  è dato dalla componente orizzontale della spinta  $S$ , dalle forze di inerzia del muro e del terreno gravante sulla fondazione di monte (caso di presenza di sisma) per i rispettivi bracci. Nel momento stabilizzante interviene il peso del muro (applicato nel baricentro) ed il peso del terreno gravante sulla fondazione di monte. Per quanto riguarda invece la componente verticale della spinta essa sarà stabilizzante se l'angolo d'attrito terra-muro  $\delta$  è positivo, ribaltante se  $\delta$  è negativo.  $\delta$  è positivo quando è il terrapieno che scorre rispetto al muro, negativo quando è il muro che tende a scorrere rispetto al terrapieno (questo può essere il caso di una spalla da ponte gravata da carichi notevoli). Se sono presenti dei tiranti essi contribuiscono al momento stabilizzante.


Questa verifica ha significato solo per fondazione superficiale e non per fondazione su pali.

### 9.3.5 Verifica a scorrimento

Per la verifica a scorrimento del muro lungo il piano di fondazione deve risultare che la somma di tutte le forze parallele al piano di posa che tendono a fare scorrere il muro deve essere minore di tutte le forze, parallele al piano di scorrimento, che si oppongono allo scivolamento, secondo un certo coefficiente di sicurezza. La verifica a scorrimento risulta soddisfatta se il rapporto fra la risultante delle forze resistenti allo scivolamento  $F_r$  e la risultante delle forze che tendono a fare scorrere il muro  $F_s$  risulta maggiore di un determinato coefficiente di sicurezza  $\eta_s$ .

Eseguendo il calcolo mediante gli Eurocodici si può impostare  $\eta_s \geq 1.0$ .

$$\frac{F_r}{F_s} \geq \eta_s$$

	Doc. N.	CODIFICA DOCUMENTO	REV.	FOGLIO
	65628-IDAY0-A00.docx	04RCEI11DAY0000000100	A00	28 di 39

Le forze che intervengono nella  $F_s$  sono: la componente della spinta parallela al piano di fondazione e la componente delle forze d'inerzia parallela al piano di fondazione.

La forza resistente è data dalla resistenza d'attrito e dalla resistenza per adesione lungo la base della fondazione. Detta  $N$  la componente normale al piano di fondazione del carico totale gravante in fondazione e indicando con  $\delta_f$  l'angolo d'attrito terreno-fondazione, con  $c_a$  l'adesione terreno-fondazione e con  $B_r$  la larghezza della fondazione reagente, la forza resistente può esprimersi come

$$F_r = N \operatorname{tg} \delta_f + c_a B_r$$

La Normativa consente di computare, nelle forze resistenti, una aliquota dell'eventuale spinta dovuta al terreno posto a valle del muro. In tal caso, però, il coefficiente di sicurezza deve essere aumentato opportunamente. L'aliquota di spinta passiva che si può considerare ai fini della verifica a scorrimento non può comunque superare il 50 per cento.

Per quanto riguarda l'angolo d'attrito terra-fondazione,  $\delta_f$ , diversi autori suggeriscono di assumere un valore di  $\delta_f$  pari all'angolo d'attrito del terreno di fondazione.

### 9.3.6 Verifica al carico limite

Il rapporto fra il carico limite in fondazione e la componente normale della risultante dei carichi trasmessi dal muro sul terreno di fondazione deve essere superiore a  $\eta_q$ . Cioè, detto  $Q_u$ , il carico limite ed  $R$  la risultante verticale dei carichi in fondazione, deve essere:

$$\frac{Q_u}{R} \geq \eta_q$$

APPROVATO SDR

Eseguendo il calcolo mediante gli Eurocodici si può impostare  $\eta_q \geq 1.0$

Le espressioni di Hansen per il calcolo della capacità portante si differenziano a secondo se siamo in presenza di un terreno puramente coesivo ( $\phi=0$ ) o meno e si esprimono nel modo seguente:

Caso generale

$$q_u = c N_c s_c d_c i_c g_c b_c + q N_q s_q d_q i_q g_q b_q + 0.5 B \gamma N_\gamma s_\gamma d_\gamma i_\gamma g_\gamma b_\gamma$$

Caso di terreno puramente coesivo  $\phi=0$

$$q_u = 5.14 c (1 + s_c + d_c - i_c - g_c - b_c) + q$$

Società di Progetto  
Brebemi SpA



in cui  $d_c, d_q, d_\gamma$ , sono i fattori di profondità;  $s_c, s_q, s_\gamma$ , sono i fattori di forma;  $i_c, i_q, i_\gamma$ , sono i fattori di inclinazione del carico;  $b_c, b_q, b_\gamma$ , sono i fattori di inclinazione del piano di posa;  $g_c, g_q, g_\gamma$ , sono i fattori che tengono conto del fatto che la fondazione poggia su un terreno in pendenza.

I fattori  $N_c, N_q, N_\gamma$  sono espressi come:

$$N_q = e^{\pi \tan \phi} K_p$$

$$N_c = (N_q - 1) \text{ctg} \phi$$

$$N_\gamma = 1.5(N_q - 1) \text{tg} \phi$$

Vediamo ora come si esprimono i vari fattori che compaiono nella espressione del carico ultimo.

#### Fattori di forma

$$\text{per } \phi=0 \quad s_c = 0.2 \frac{B}{L}$$

$$\text{per } \phi > 0 \quad s_c = 1 + \frac{N_q}{N_c} \frac{B}{L}$$

$$s_q = 1 + \frac{B}{L} \text{tg} \phi$$

$$s_\gamma = 1 - 0.4 \frac{B}{L}$$

#### Fattori di profondità

Si definisce il parametro  $k$  come

$$k = \frac{D}{B} \quad \text{se} \quad \frac{D}{B} \leq 1$$

$$k = \text{arctg} \frac{D}{B} \quad \text{se} \quad \frac{D}{B} > 1$$

APPROVATO SDP

Società di Progetto  
**Brebemi SpA**



I vari coefficienti si esprimono come

$$\text{per } \phi=0 \quad d_c = 0.4k$$

$$\text{per } \phi>0 \quad d_c = 1 + 0.4k$$

$$d_q = 1 + 2\text{tg}\phi(1 - \sin\phi)^2 k$$

$$\gamma = 1$$

### Fattori di inclinazione del carico

Indichiamo con  $V$  e  $H$  le componenti del carico rispettivamente perpendicolare e parallela alla base e con  $A_f$  l'area efficace della fondazione ottenuta come  $A_f = B'L'$  ( $B'$  e  $L'$  sono legate alle dimensioni effettive della fondazione  $B$ ,  $L$  e all'eccentricità del carico  $e_B$ ,  $e_L$  dalle relazioni  $B' = B - 2e_B$   $L' = L - 2e_L$ ) e con  $\eta$  l'angolo di inclinazione della fondazione espresso in gradi ( $\eta=0$  per fondazione orizzontale).

I fattori di inclinazione del carico si esprimono come:

$$\text{per } \phi = 0 \quad i_c = \frac{H}{A_f c_a} \left( 1 - \sqrt{1 - \frac{H}{A_f c_a}} \right)$$

$$\text{per } \phi > 0 \quad i_c = i_q - \frac{1 - i_q}{N_q - 1}$$

$$i_q = \left( 1 - \frac{0.5H}{V + A_f c_a \text{tg}\phi} \right)^5$$

$$\text{per } \eta = 0 \quad i_y = \left( 1 - \frac{0.7H}{V + A_f c_a \text{tg}\phi} \right)^5$$

$$\text{per } \eta > 0 \quad i_y = \left( 1 - \frac{(0.7 - \eta^\circ/450^\circ)H}{V + A_f c_a \text{tg}\phi} \right)^5$$

### Fattori di inclinazione del piano di posa della fondazione

$$\text{per } \phi=0 \quad b_c = \frac{\eta^\circ}{147^\circ}$$

APPROVATO SDP

$$\eta^\circ \quad \text{per } \phi > 0 \quad b_c = 1 - \frac{\quad}{147^\circ}$$

$$b_q = e^{-2\eta \text{tg} \phi}$$

$$b_\gamma = e^{-2.7\eta \text{tg} \phi}$$

Fattori di inclinazione del terreno

$$\beta^\circ \quad \text{per } \phi = 0 \quad g_c = \frac{\quad}{147^\circ}$$

$$\beta^\circ \quad \text{per } \phi > 0 \quad g_c = 1 - \frac{\quad}{147^\circ}$$

$$g_q = g_\gamma = (1 - 0.05 \text{tg} \beta)^5$$

Per poter applicare la formula di Hansen devono risultare verificate le seguenti condizioni:

$$H < V \text{tg} \delta + A_f c_a$$

$$\beta \leq \phi$$

$$i_q, i_\gamma > 0$$

$$\beta + \eta \leq 90^\circ$$

APPROVATO SDP


### 9.3.7 Verifica alla stabilità globale

La verifica alla stabilità globale del complesso muro+terreno deve fornire un coefficiente di sicurezza non inferiore a  $\eta_g$

Eseguendo il calcolo mediante gli Eurocodici si può impostare  $\eta_g \geq 1.0$

Viene usata la tecnica della suddivisione a strisce della superficie di scorrimento da analizzare. La superficie di scorrimento viene supposta circolare e determinata in modo tale da non avere intersezione con il profilo del muro o con i pali di fondazione. Si determina il minimo coefficiente di sicurezza su una maglia di centri di dimensioni 10x10 posta in prossimità della sommità del muro. Il numero di strisce è pari a 50. **Brebemi SpA**

Società di Progetto  


	Doc. N. 65628-IDAY0-A00.docx	CODIFICA DOCUMENTO 04RCEI11DAY0000000100	REV. A00	FOGLIO 32 di 39
--	---------------------------------	---	-------------	--------------------

Si adotta per la verifica di stabilità globale il metodo di Bishop.

Il coefficiente di sicurezza nel metodo di Bishop si esprime secondo la seguente formula:

$$\eta = \frac{\sum_i \left( \frac{c_i b_i + (W_i - u_i b_i) \operatorname{tg} \phi_i}{m} \right)}{\sum_i W_i \sin \alpha_i}$$

dove il termine  $m$  è espresso da

$$m = \left( 1 + \frac{\operatorname{tg} \phi_i \operatorname{tg} \alpha_i}{\eta} \right) \cos \alpha_i$$

In questa espressione  $n$  è il numero delle strisce considerate,  $b_i$  e  $\alpha_i$  sono la larghezza e l'inclinazione della base della striscia  $i$ -esima rispetto all'orizzontale,  $W_i$  è il peso della striscia  $i$ -esima,  $c_i$  e  $\phi_i$  sono le caratteristiche del terreno (coesione ed angolo di attrito) lungo la base della striscia ed  $u_i$  è la pressione neutra lungo la base della striscia.

L'espressione del coefficiente di sicurezza di Bishop contiene al secondo membro il termine  $m$  che è funzione di  $\eta$ . Quindi essa viene risolta per successive approssimazioni assumendo un valore iniziale per  $\eta$  da inserire nell'espressione di  $m$  ed iterare finquando il valore calcolato coincide con il valore assunto.

APPROVATO SDR

## 9.4 Geometria profilo terreno

### 9.4.1 Terreno a monte del muro

#### *Simbologia adottata e sistema di riferimento*

(Sistema di riferimento con origine in testa al muro, ascissa X positiva verso monte, ordinata Y positiva verso l'alto)

N numero ordine del punto

X ascissa del punto espressa in [m]

Y ordinata del punto espressa in [m]

A inclinazione del tratto espressa in [°]

Società di Progetto  
**Brebemi SpA**





N	X	Y	A
1	1,00	0,00	0,00
2	6,00	0,00	0,00

### 9.4.2 Terreno a valle del muro

Inclinazione terreno a valle del muro rispetto all'orizzontale 0,00 [°]

Altezza del rinterro rispetto all'attacco fondaz.valle-paramento 0,30 [m]

### Descrizione terreni

#### Simbologia adottata


Nr.	Indice del terreno
Descrizione	Descrizione terreno
$\gamma$	Peso di volume del terreno espresso in [kN/mc]
$\gamma_s$	Peso di volume saturo del terreno espresso in [kN/mc]
$\phi$	Angolo d'attrito interno espresso in [°]
$\delta$	Angolo d'attrito terra-muro espresso in [°]
c	Coesione espressa in [kPa]
$c_a$	Adesione terra-muro espressa in [kPa]

Descrizione	$\gamma$	$\gamma_s$	$\phi$	$\delta$	c	$c_a$
Terreno 1	20,00	20,00	35.00	17.50	0,0	0,0
Terreno 2	20,00	20,00	35.00	35.00	0,0	0,0

### 9.4.3 Stratigrafia

#### Simbologia adottata

N	Indice dello strato
H	Spessore dello strato espresso in [m]
a	Inclinazione espressa in [°]
Kw	Costante di Winkler orizzontale espressa in Kg/cm <sup>2</sup> /cm
Ks	Coefficiente di spinta

	Doc. N.	CODIFICA DOCUMENTO	REV.	FOGLIO
	65628-IDAY0-A00.docx	04RCEI11DAY0000000100	A00	34 di 39

Terreno Terreno dello strato

Nr.	H	a	Kw	Ks	Terreno
1	2,20	0,00	0,00	0,00	Terreno 1
2	10,00	0,00	4,24	0,00	Terreno 2

## 9.5 Condizioni di carico

### 9.5.1 Normativa

Le verifiche geotecniche vengono condotte secondo quanto disposto dall'Approccio 2 previsto dal D.M. 14 gennaio 2008.

#### Simbologia adottata

$\gamma_{Gsfav}$	Coefficiente parziale sfavorevole sulle azioni permanenti
$\gamma_{Gfav}$	Coefficiente parziale favorevole sulle azioni permanenti
$\gamma_{Qsfav}$	Coefficiente parziale sfavorevole sulle azioni variabili
$\gamma_{Qfav}$	Coefficiente parziale favorevole sulle azioni variabili
$\gamma_{tan\phi'}$	Coefficiente parziale di riduzione dell'angolo di attrito drenato
$\gamma_{c'}$	Coefficiente parziale di riduzione della coesione drenata
$\gamma_{cu}$	Coefficiente parziale di riduzione della coesione non drenata
$\gamma_{qu}$	Coefficiente parziale di riduzione del carico ultimo
$\gamma_{\gamma}$	Coefficiente parziale di riduzione della resistenza a compressione uniaassiale delle rocce

APPROVATO SDP

#### Coefficienti di partecipazione combinazioni statiche

Coefficienti parziali per le azioni o per l'effetto delle azioni:

Carichi	Effetto		A1	A2	EQU	HYD
Permanenti	Favorevole	$\gamma_{Gfav}$	1,00	1,00	0,90	0,90
Permanenti	Sfavorevole	$\gamma_{Gsfav}$	1,30	1,00	1,10	1,30
Variabili	Favorevole	$\gamma_{Qfav}$	0,00	0,00	0,00	0,00
Variabili	Sfavorevole	$\gamma_{Qsfav}$	1,50	1,30	1,50	1,50

Coefficienti parziali per i parametri geotecnici del terreno:

Parametri		M1	M2	M2	Società di Progetto Brebini SpA
Tangente dell'angolo di attrito	$\gamma_{tan\phi'}$	1,00	1,25	1,25	1,00
Coesione efficace	$\gamma_{c'}$	1,00	1,25	1,25	1,00

Società di Progetto  
Brebini SpA

Resistenza non drenata	$\gamma_{cu}$	1,00	1,40	1,40	1,00
Resistenza a compressione uniassiale	$\gamma_{qu}$	1,00	1,60	1,60	1,00
Peso dell'unità di volume	$\gamma_\gamma$	1,00	1,00	1,00	1,00

### Coefficienti di partecipazione combinazioni sismiche

Coefficienti parziali per le azioni o per l'effetto delle azioni:

<i>Carichi</i>	<i>Effetto</i>		<i>A1</i>	<i>A2</i>	<i>EQU</i>	<i>HYD</i>
Permanenti	Favorevole	$\gamma_{Gfav}$	1,00	1,00	1,00	0,90
Permanenti	Sfavorevole	$\gamma_{Gsfav}$	1,00	1,00	1,00	1,30
Variabili	Favorevole	$\gamma_{Qfav}$	0,00	0,00	0,00	0,00
Variabili	Sfavorevole	$\gamma_{Qsfav}$	1,00	1,00	1,00	1,50

Coefficienti parziali per i parametri geotecnici del terreno:

<i>Parametri</i>		<i>M1</i>	<i>M2</i>	<i>M2</i>	<i>M1</i>
Tangente dell'angolo di attrito	$\gamma_{\tan\phi}$	1,00	1,25	1,25	1,00
Coesione efficace	$\gamma_{c'}$	1,00	1,25	1,25	1,00
Resistenza non drenata	$\gamma_{cu}$	1,00	1,40	1,40	1,00
Resistenza a compressione uniassiale	$\gamma_{qu}$	1,00	1,60	1,60	1,00
Peso dell'unità di volume	$\gamma_\gamma$	1,00	1,00	1,00	1,00

APPROVATO SDP

### FONDAZIONE SUPERFICIALE

**Coefficienti parziali  $\gamma_R$  per le verifiche agli stati limite ultimi STR e GEO**

<i>Verifica</i>	<i>Coefficienti parziali</i>		
	<i>R1</i>	<i>R2</i>	<i>R3</i>
Capacità portante della fondazione	1,00	1,00	1,40
Scorrimento	1,00	1,00	1,10
Resistenza del terreno a valle	1,00	1,00	1,40
Stabilità globale		1,10	

## 9.5.2 Descrizione combinazioni di carico

### Simbologia adottata

F/S Effetto dell'azione (FAV: Favorevole, SFAV: Sfavorevole)

$\gamma$  Coefficiente di partecipazione della condizione

$\Psi$  Coefficiente di combinazione della condizione

### Combinazione n° 1 - Caso A1-M1 (STR)

	<b>S/F</b>	$\gamma$	$\Psi$	$\gamma * \Psi$
Peso proprio muro	FAV	1,00	1.00	1,00
Peso proprio terrapieno	FAV	1,00	1.00	1,00
Spinta terreno	SFAV	1,30	1.00	1,30

### Combinazione n° 2 - Caso A1-M1 (STR)

	<b>S/F</b>	$\gamma$	$\Psi$	$\gamma * \Psi$
Peso proprio muro	SFAV	1,30	1.00	1,30
Peso proprio terrapieno	SFAV	1,30	1.00	1,30
Spinta terreno	SFAV	1,30	1.00	1,30

### Combinazione n° 3 - Caso A1-M1 (STR)

	<b>S/F</b>	$\gamma$	$\Psi$	$\gamma * \Psi$
Peso proprio muro	SFAV	1,30	1.00	1,30
Peso proprio terrapieno	FAV	1,00	1.00	1,00
Spinta terreno	SFAV	1,30	1.00	1,30

### Combinazione n° 4 - Caso A1-M1 (STR)

	<b>S/F</b>	$\gamma$	$\Psi$	$\gamma * \Psi$
Peso proprio muro	FAV	1,00	1.00	1,00
Peso proprio terrapieno	SFAV	1,30	1.00	1,30
Spinta terreno	SFAV	1,30	1.00	1,30

### Combinazione n° 5 - Caso EQU (SLU)

	<b>S/F</b>	$\gamma$	$\Psi$	$\gamma * \Psi$
Peso proprio muro	FAV	0,90	1.00	0,90
Peso proprio terrapieno	FAV	0,90	1.00	0,90
Spinta terreno	SFAV	1,10	1.00	1,10

APPROVATO SDP

Società di Progetto  
**Brebemi SpA**



Combinazione n° 6 - Caso A2-M2 (GEO-STAB)

	<b>S/F</b>	$\gamma$	$\Psi$	$\gamma * \Psi$
Peso proprio muro	SFAV	1,00	1.00	1,00
Peso proprio terrapieno	SFAV	1,00	1.00	1,00
Spinta terreno	SFAV	1,00	1.00	1,00

Combinazione n° 7 - Caso A1-M1 (STR) - Sisma Vert. negativo

	<b>S/F</b>	$\gamma$	$\Psi$	$\gamma * \Psi$
Peso proprio muro	SFAV	1,00	1.00	1,00
Peso proprio terrapieno	SFAV	1,00	1.00	1,00
Spinta terreno	SFAV	1,00	1.00	1,00

Combinazione n° 8 - Caso A1-M1 (STR) - Sisma Vert. positivo

	<b>S/F</b>	$\gamma$	$\Psi$	$\gamma * \Psi$
Peso proprio muro	SFAV	1,00	1.00	1,00
Peso proprio terrapieno	SFAV	1,00	1.00	1,00
Spinta terreno	SFAV	1,00	1.00	1,00

Combinazione n° 9 - Caso EQU (SLU) - Sisma Vert. negativo

	<b>S/F</b>	$\gamma$	$\Psi$	$\gamma * \Psi$
Peso proprio muro	FAV	1,00	1.00	1,00
Peso proprio terrapieno	FAV	1,00	1.00	1,00
Spinta terreno	SFAV	1,00	1.00	1,00

Combinazione n° 10 - Caso EQU (SLU) - Sisma Vert. positivo

	<b>S/F</b>	$\gamma$	$\Psi$	$\gamma * \Psi$
Peso proprio muro	FAV	1,00	1.00	1,00
Peso proprio terrapieno	FAV	1,00	1.00	1,00
Spinta terreno	SFAV	1,00	1.00	1,00

Combinazione n° 11 - Caso A2-M2 (GEO-STAB) - Sisma Vert. positivo

	<b>S/F</b>	$\gamma$	$\Psi$	$\gamma * \Psi$
Peso proprio muro	SFAV	1,00	1.00	1,00
Peso proprio terrapieno	SFAV	1,00	1.00	1,00
Spinta terreno	SFAV	1,00	1.00	1,00

Combinazione n° 12 - Caso A2-M2 (GEO-STAB) - Sisma Vert. negativo

	<b>S/F</b>	$\gamma$	$\Psi$	$\gamma * \Psi$
Peso proprio muro	SFAV	1,00	1.00	1,00
Peso proprio terrapieno	SFAV	1,00	1.00	1,00
Spinta terreno	SFAV	1,00	1.00	1,00

APPROVATO SDP

Combinazione n° 13 - Caso A1-M1 (STR)

	<b>S/F</b>	$\gamma$	$\Psi$	$\gamma * \Psi$
Peso proprio muro	SFAV	1,30	1.00	1,30
Peso proprio terrapieno	FAV	1,00	1.00	1,00
Spinta terreno	SFAV	1,30	1.00	1,30
sovraccarico	SFAV	1.50	1.00	1.50

Combinazione n° 14 - Caso A1-M1 (STR)

	<b>S/F</b>	$\gamma$	$\Psi$	$\gamma * \Psi$
Peso proprio muro	FAV	1,00	1.00	1,00
Peso proprio terrapieno	SFAV	1,30	1.00	1,30
Spinta terreno	SFAV	1,30	1.00	1,30
sovraccarico	SFAV	1.50	1.00	1.50

Combinazione n° 15 - Caso A1-M1 (STR)

	<b>S/F</b>	$\gamma$	$\Psi$	$\gamma * \Psi$
Peso proprio muro	FAV	1,00	1.00	1,00
Peso proprio terrapieno	FAV	1,00	1.00	1,00
Spinta terreno	SFAV	1,30	1.00	1,30
sovraccarico	SFAV	1.50	1.00	1.50

Combinazione n° 16 - Caso A1-M1 (STR)

	<b>S/F</b>	$\gamma$	$\Psi$	$\gamma * \Psi$
Peso proprio muro	SFAV	1,30	1.00	1,30
Peso proprio terrapieno	SFAV	1,30	1.00	1,30
Spinta terreno	SFAV	1,30	1.00	1,30
sovraccarico	SFAV	1.50	1.00	1.50

Combinazione n° 17 - Caso EQU (SLU)

	<b>S/F</b>	$\gamma$	$\Psi$	$\gamma * \Psi$
Peso proprio muro	FAV	0,90	1.00	0,90
Peso proprio terrapieno	FAV	0,90	1.00	0,90
Spinta terreno	SFAV	1,10	1.00	1,10
sovraccarico	SFAV	1.50	1.00	1.50

Combinazione n° 18 - Caso A2-M2 (GEO-STAB)

	<b>S/F</b>	$\gamma$	$\Psi$	$\gamma * \Psi$
Peso proprio muro	SFAV	1,00	1.00	1,00
Peso proprio terrapieno	SFAV	1,00	1.00	1,00
Spinta terreno	SFAV	1,00	1.00	1,00

APPROVATO SDP

sovraccarico	SFAV	1.30	1.00	1.30
--------------	------	------	------	------

Combinazione n° 19 - Quasi Permanente (SLE)

	<b>S/F</b>	$\gamma$	$\Psi$	$\gamma * \Psi$
Peso proprio muro	--	1,00	1.00	1,00
Peso proprio terrapieno	--	1,00	1.00	1,00
Spinta terreno	--	1,00	1.00	1,00

Combinazione n° 20 - Frequente (SLE)

	<b>S/F</b>	$\gamma$	$\Psi$	$\gamma * \Psi$
Peso proprio muro	--	1,00	1.00	1,00
Peso proprio terrapieno	--	1,00	1.00	1,00
Spinta terreno	--	1,00	1.00	1,00
sovraccarico	SFAV	1.00	0.75	0.75

Combinazione n° 21 - Rara (SLE)

	<b>S/F</b>	$\gamma$	$\Psi$	$\gamma * \Psi$
Peso proprio muro	--	1,00	1.00	1,00
Peso proprio terrapieno	--	1,00	1.00	1,00
Spinta terreno	--	1,00	1.00	1,00
sovraccarico	SFAV	1.00	1.00	1.00

## 9.6 Verifiche strutturali e geotecniche

Sia per le verifiche geotecniche, sia per le verifiche strutturali si rimanda alla relazione di calcolo del muro ad "L" IDAY7.

Infatti l'opera oggetto del presente documento presenta le stesse caratteristiche del muro IDAY7. L'unica differenza geometrica è rappresentata dalla diversa altezza del paramento, che risulta essere di 1,81m contro i 1,90m del muro di riferimento.

Essendo le sollecitazioni maggiori nel caso di muro di altezza pari a 1,90m ed essendo le sezioni resistenti le medesime in entrambe le opere, tutte le verifiche risultano implicitamente soddisfatte.